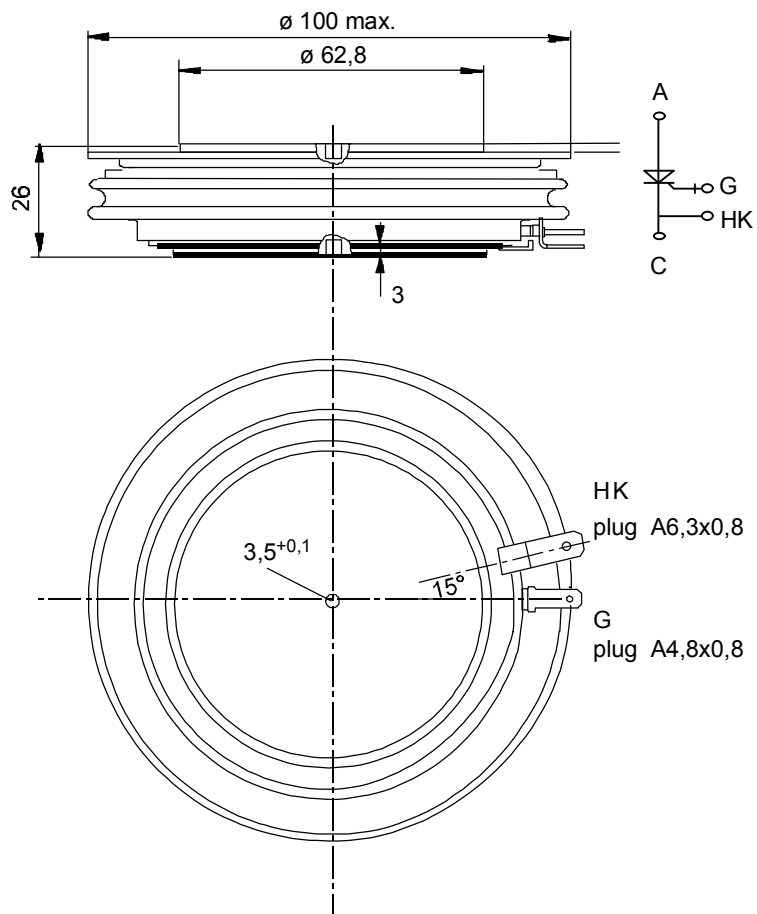


European Power-Semiconductor and Electronics Company

Marketing Information

T 1101 S



T 1101 S

Elektrische Eigenschaften Electrical properties

Höchstzulässige Werte	Maximum rated values			
Periodische Vorwärts- und Rückwärts-Spitzenspannung	repetitive peak forward off-state and reverse voltages	$t_{vj} = -40^{\circ}\text{C} \dots t_{vj \text{ max}}$	$V_{\text{DRM}}, V_{\text{RRM}}$	3000 2800 V
Vorwärts-Stoßspitzenspannung	non-repetitive peak forward off-state voltage	$t_{vj} = -40^{\circ}\text{C} \dots t_{vj \text{ max}}$	$V_{\text{DSM}} = V_{\text{DRM}}$	3000 2800 V
Rückwärts-Durchlaßstrom-Grenzwert	non-repetitive peak reverse voltage	$t_{vj} = +25^{\circ}\text{C} \dots t_{vj \text{ max}}$	$V_{\text{RSM}} = V_{\text{RRM}}$	3100 2900 V
Dauergrenzstrom	RMS on-state current		I_{TRMSM}	2500 A
	average on-state current	$t_c = 85^{\circ}\text{C}, f = 50\text{Hz}$	I_{TAVM}	1060 A
		$t_c = 60^{\circ}\text{C}, f = 50\text{Hz}$		1560 A
Stoßstrom-Grenzwert	surge current	$t_{vj} = 25^{\circ}\text{C}, t_p = 10 \text{ ms}$	I_{TSM}	28 kA
		$t_{vj} = t_{vj \text{ max}}, t_p = 10 \text{ ms}$		26 kA
Grenzlastintegral	$I^2 t$ -value	$t_{vj} = 25^{\circ}\text{C}, t_p = 10 \text{ ms}$	$I^2 t$	$3,92 \cdot 10^6 \text{ A}^2\text{s}$
		$t_{vj} = t_{vj \text{ max}}, t_p = 10 \text{ ms}$		$3,38 \cdot 10^6 \text{ A}^2\text{s}$
Kritische Stromsteilheit	critical rate of rise of on-state	DIN IEC 747-6, $f = 50 \text{ Hz}$	$(di_T/dt)_{\text{cr}}$	300 A/ μs
		$i_{\text{GM}} = 1,5 \text{ A}, di_G/dt = 3 \text{ A}/\mu\text{s}$		
Kritische Spannungssteilheit	critical rate of rise of off-state	$t_{vj} = t_{vj \text{ max}}, V_D = 67\% V_{\text{DRM}}$	$(dv/dt)_{\text{cr}}$	1000 V/ μs ¹⁾
		5.Kennbuchstabe/5th letter F		

nach DIN IEC 747 - 6 (ohne vorausgehende Kommutierung). / Values to DIN IEC / 747-6 (without prior comm

Charakteristische Werte Characteristic values

				typ.	max.
Durchlaßspannung	on-state voltage	$t_{vj} = t_{vj \text{ max}}, I_T = 4000 \text{ A}$	V_T	2,2	2,45 V
Durchlaßrechenkennlinien	on-state charakteristiks for	$t_{vj} = t_{vj \text{ max}}$	A	1,28426377	1,55260105
	$V_T = A + b \cdot I_T + C \ln(I_T + 1) + D \cdot \sqrt{I_T}$		B	0,00005855	0,00005965
			C	-0,10831138	-0,14496651
			D	0,02497425	0,02943469
Schleusenspannung	threshold voltage	$t_{vj} = t_{vj \text{ max}}$	$V_{T(\text{TO})}$	1,12	1,25 V
Ersatzwiderstand	slope resistance	$t_{vj} = t_{vj \text{ max}}$	r_T	0,27	0,3 m Ω
Zündstrom	gate trigger current	$t_{vj} = 25^{\circ}\text{C}, V_D = 6 \text{ V}$	I_{GT}		300 mA
Zündspannung	gate trigger voltage	$t_{vj} = 25^{\circ}\text{C}, V_D = 6 \text{ V}$	V_{GT}		2 V
Nicht zündender Steuerstrom	gate non-trigger current	$t_{vj} = 25^{\circ}\text{C}, V_D = 6 \text{ V}$	I_{GD}		60 mA
		$t_{vj} = t_{vj \text{ max}}, V_D = 0,5 V_{\text{DRM}}$			15 mA
Nicht zündende Steuerspannung	gate non-trigger voltage	$t_{vj} = t_{vj \text{ max}}, V_D = 0,5 V_{\text{DRM}}$	V_{GD}		0,3 V
Haltestrom	holding current	$t_{vj} = 25^{\circ}\text{C}, V_D = 12 \text{ V}$	I_{H}		400 mA
Einraststrom	latching current	$t_{vj} = 25^{\circ}\text{C}, V_D = 12 \text{ V}, i_{\text{GM}} = 1,5 \text{ A}$	I_{L}		2 A
		$di_G/dt = 3 \text{ A}/\mu\text{s}, t_q = 15 \mu\text{s}$			
Vorwärts- und Rückwärts-Zündverzögerung	forward off-state and reverse gate controlled delay time	$t_{vj} = t_{vj \text{ max}}, V_D = V_{\text{DRM}}, V_R = V_{\text{RRM}}$	i_D, i_R		250 mA
		DIN IEC 747-6	t_{gd}		2 μs
		$t_{vj} = 25^{\circ}\text{C}, i_{\text{GM}} = 1,5 \text{ A}, di_G/dt = 3$			
Freiwerdezeit	circuit commutated turn-off time	$t_{vj} = t_{vj \text{ max}}, I_{\text{TM}} = 1500 \text{ A}, V_{\text{RM}} 0 100\text{V}, V_{\text{DM}} = 0,67 V_{\text{DRM}}, dV_D/dt 0 20\text{V}/\mu\text{s}, -di_T/dt 0 100\text{A}/\mu\text{s}$	t_q		200 μs
		4.Kennziffer / 4th number 2			
Sperrverzögerungsladung	recovered charge	$t_{vj} = t_{vj \text{ max}}, I_{\text{TM}} = 1500 \text{ A},$	Q_r		6000 mAs
Rückstromspitze	peak reverse recovery current	$V_R = 0,5 \cdot V_{\text{RRM}}, V_{\text{RM}} = 0,8 \cdot V_{\text{RRM}}$	I_{RM}		620 A

Thermische Eigenschaften Thermal properties

Innerer Wärmewiderstand für beidseitige Kühlung	thermal resistance, junction to case for two-sided cooling	$\Theta = 180^{\circ} \text{ sin, beidseitig / two-sided DC.}$	R_{thJC}		0,016 $^{\circ}\text{C}/\text{W}$
Übergangs-Wärmewiderstand	thermal resistance, case to heatsink beidseitig / two-sided		R_{thCK}		0,015 $^{\circ}\text{C}/\text{W}$
Höchstzul.Sperrschichttemperatur	max. junction temperature		$t_{vj \text{ max}}$		120 $^{\circ}\text{C}$
Betriebstemperatur	operating temperature		$t_{c \text{ op}}$		-40...+120 $^{\circ}\text{C}$
Lagertemperatur	storage temperature		t_{stg}		-40...+150 $^{\circ}\text{C}$

Mechanische Eigenschaften Mechanical properties

Anpreßkraft	clamping force		F		27...40 kN
Gewicht	weight		G		typ. 850 g
Kriechstrecke	creepage distance				27 mm
Luftstrecke					12 mm
Feuchteklasse	humidity classification	DIN 40040			C
Schwingfestigkeit	vibration resistance	$f = 50 \text{ Hz}$			50 m/s ²

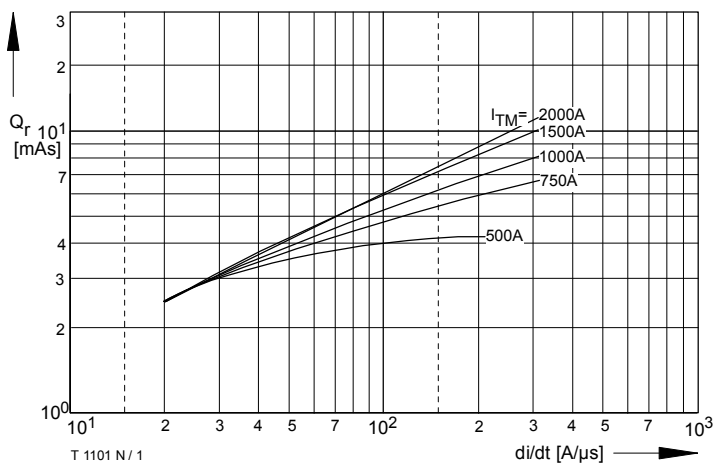


Bild / Fig. 1
Sperrverzögerungsladung / Recovered charge $Q_r=f(di/dt)$
Obergrenze / upper limit (98% value)
 $t_{vj}=t_{vj\ max}$, $V_R = 0,5 V_{RRM}$
Parameter: Durchlaßstrom / On - state current I_{TM}

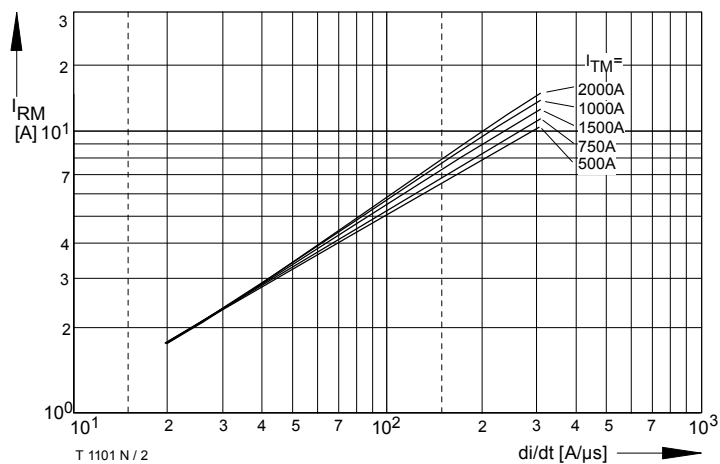


Bild / Fig. 2
Rückstromspitze / peak reverse recovery current, $I_{RM}=f(di/dt)$
Obergrenze / upper limit (98% value)
 $t_{vj}=t_{vj\ max}$, $V_R = 0,5 V_{RRM}$
Parameter: Durchlaßstrom / On - state current I_{TM}

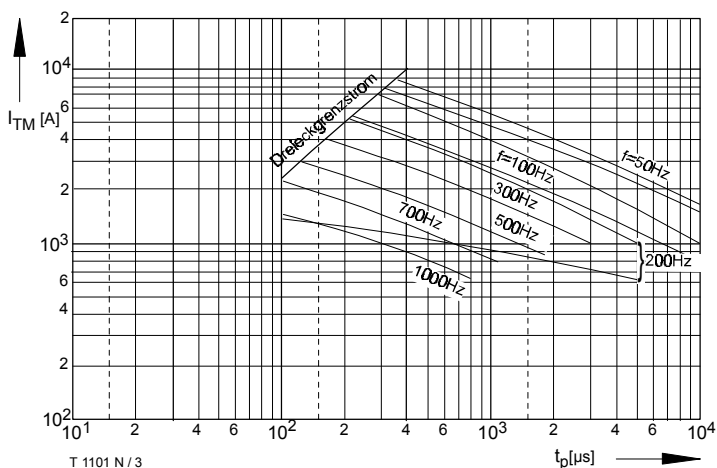


Bild / Fig. 3
Stromtragfähigkeit (Trapezstrom) / current capability (square wave)
 $I_{TM}=f(t_p)$
Parameter: $T_c=100^\circ\text{C}$, $di/dt=50\text{A}/\mu\text{s}$
 V_D , $V_{R(Spr)}$, F, Beschaltung / RC - Snubber

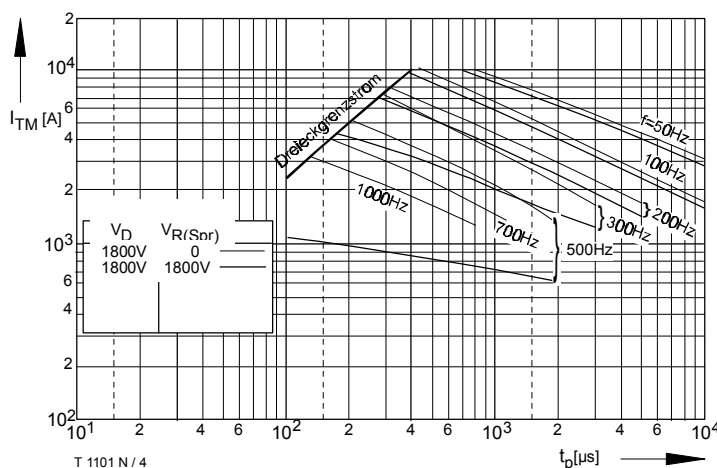


Bild / Fig. 4
Stromtragfähigkeit (Trapezstrom) / current capability (square wave)
 $I_{TM}=f(t_p)$
Parameter: $T_c=80^\circ\text{C}$, $di/dt=50\text{A}/\mu\text{s}$
 V_D , $V_{R(Spr)}$, F, Beschaltung / RC - Snubber

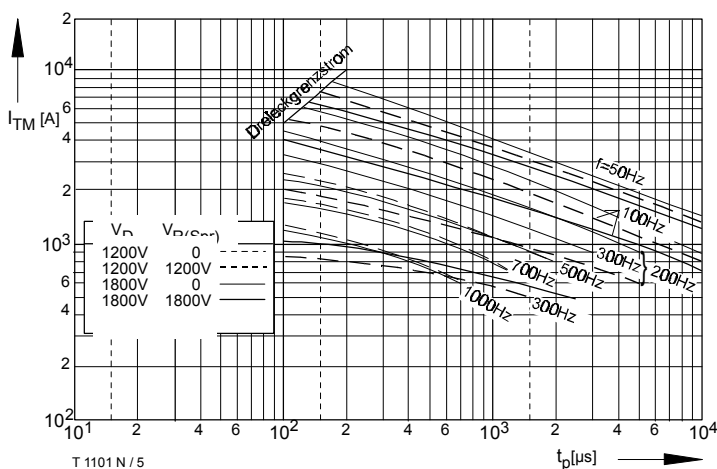


Bild / Fig. 5
Stromtragfähigkeit (Trapezstrom) / current capability (square wave)
 $I_{TM}=f(t_p)$
Parameter: $T_c=100^\circ\text{C}$, $di/dt=100\text{A}/\mu\text{s}$
 V_D , $V_{R(Spr)}$, F, Beschaltung / RC - Snubber

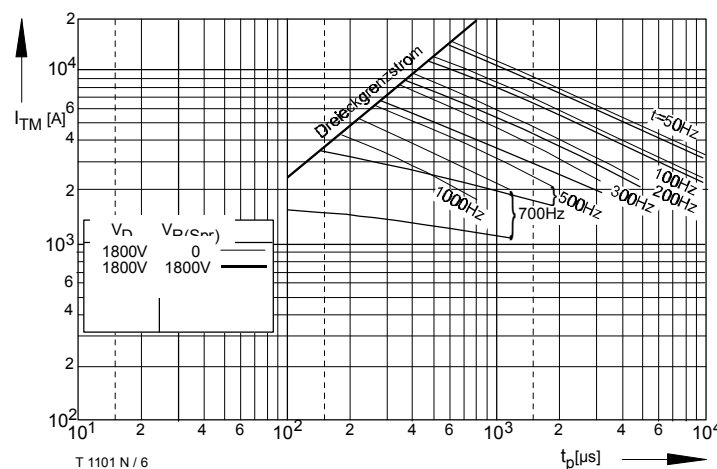


Bild / Fig. 6
Stromtragfähigkeit (Trapezstrom) / current capability (square wave)
 $I_{TM}=f(t_p)$
Parameter: $T_c=60^\circ\text{C}$, $di/dt=50\text{A}/\mu\text{s}$
 V_D , $V_{R(Spr)}$, F, Beschaltung / RC - Snubber

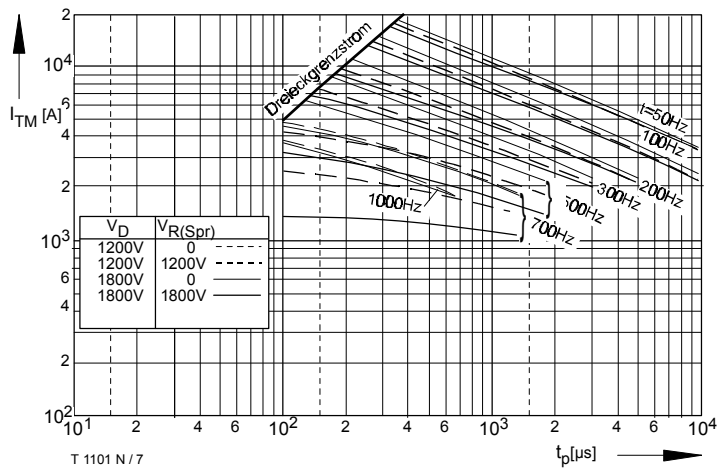


Bild / Fig. 7
Stromtragfähigkeit (Trapezstrom) / current capability (square wave)
 $I_{TM}=f(t_p)$
Parameter: $T_c=60^\circ\text{C}$, $di/dt=100\text{A}/\mu\text{s}$
 V_D , $V_{R(Spr)}$, F , Beschaltung / RC - Snubber

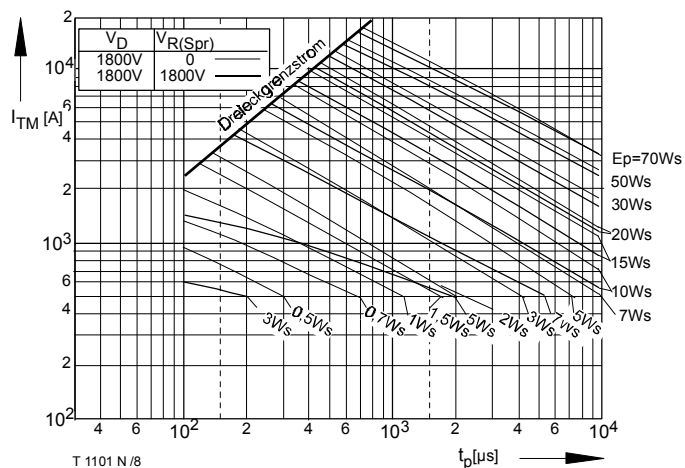


Bild / Fig. 8
Gesamtverluste / total losses, $P_{tot}=E_p f$
Parameter: Trapezstrom / square wave current, $di/dt=50\text{A}/\mu\text{s}$
 V_D , $V_{R(Spr)}$, f , Beschaltung / RC - Snubber

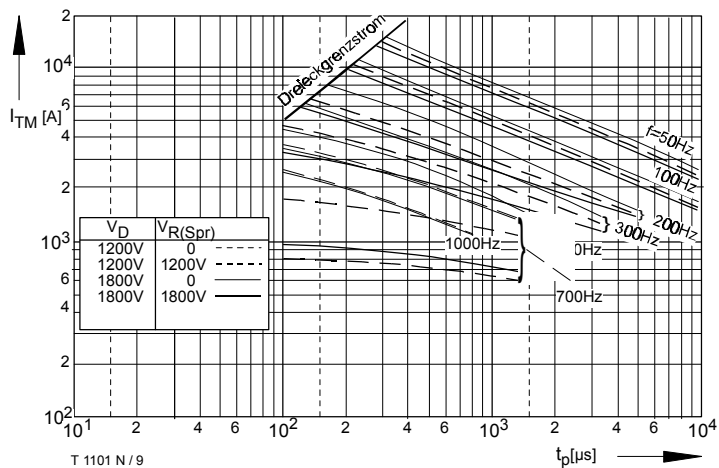


Bild / Fig. 9
Stromtragfähigkeit (Trapezstrom) / current capability (square wave)
 $I_{TM}=f(t_p)$
Parameter: $T_c=80^\circ\text{C}$, $di/dt=100\text{A}/\mu\text{s}$
 V_D , $V_{R(Spr)}$, F , Beschaltung / RC - Snubber

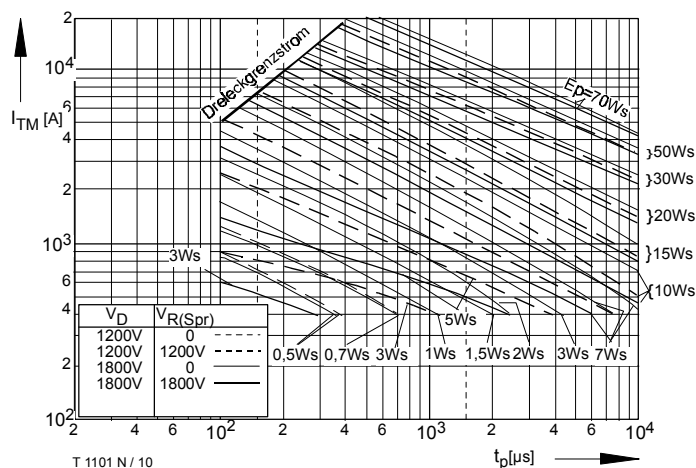


Bild / Fig. 10
Gesamtverluste / total losses, $P_{tot}=E_p f$
Parameter: Trapezstrom / square wave current, $di/dt=100\text{A}/\mu\text{s}$
 V_D , $V_{R(Spr)}$, f , Beschaltung / RC - Snubber

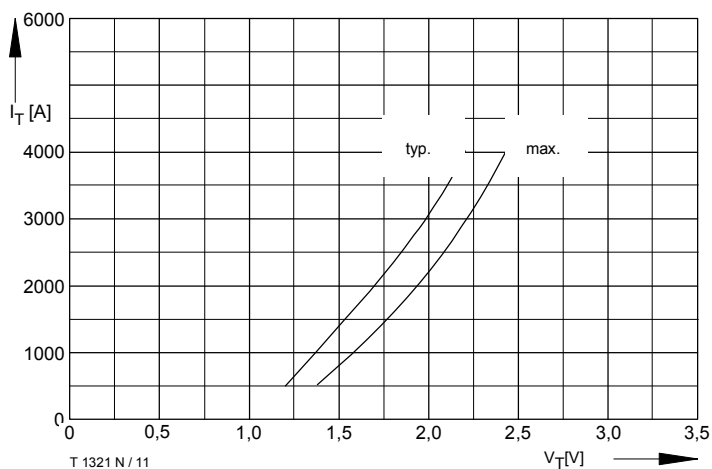


Bild / Fig. 11
Grenzdurchlaßkennlinie / Limiting on-state characteristics
 $i_T = f(v_T)$, $t_{vj}=120^\circ\text{C}$

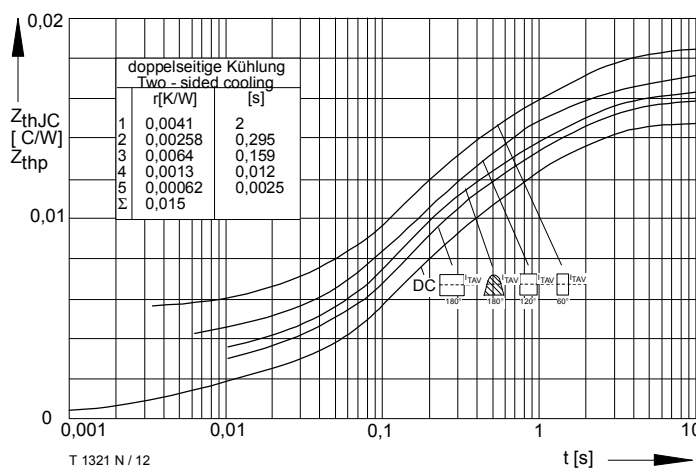


Bild / Fig. 12
Transienter innerer Wärmewiderstand / Transient thermal impedance
 $Z_{thJC}=F(t)$
Parameter: Stromflußwinkel / current conduction angle θ
Beidseitige Kühlung / Two - sided cooling